

Моделирование дробных систем управления летательными аппаратами спектральным методом в системе функций Фабера-Шаудера

Рыбин В.В.*, Цветаев В.Е.**

Московский авиационный институт (национальный исследовательский университет), МАИ, Волоколамское шоссе, 4, Москва, А-80, ГСП-3, 125993, Россия

**e-mail: dep805@mai.ru*

***e-mail: dep805@mai.ru*

Аннотация

Спектральный метод уже распространен на системы управления, модели которых содержат дробные интегрирующие и дифференцирующие звенья, а для моделирования таких систем модифицированы пакеты расширения MLSY_SM, Spektr_SM+Simulink+Matlab, Spektr_SM+VisSim+Mathcad СКМ. Этот программный комплекс не содержит пакеты программ в системе функций Фабера-Шаудера. В данной статье рассматривается разработка пакета расширения MLSY_SM_SH+Mathcad для анализа нестационарных непрерывных систем управления дробного порядка спектральным методом в системе функций Фабера-Шаудера. Сам пакет применяется для анализа и параметрического синтеза системы управления самонаводящейся ракеты.

Ключевые слова: нестационарные системы управления, спектральная форма математического описания, система функций Фабера-Шаудера, системы компьютерной математики, дробные интегрирующие и дифференцирующие звенья.

Введение

В настоящее время теория фракталов и дробных операторов находит все большее применение в радиофизике, радиоэлектронике, теории управления и других предметных областях [1-7]. Микро- и нанотехнологии позволяют создавать технические элементы, которые физически реализуют дробные интегральные и дифференциальные операторы. В частности, можно создавать пассивные радиоэлементы, моделирующие фрактальные импедансы [4,6-7]. Для систем автоматического управления предложена методика проектирования фрактальных пропорционально-интегрально-дифференциальных регуляторов дробного порядка [7]. Спектральный метод [8-14], в настоящее время, развит на нестационарные системы управления, содержащие дробные интегрирующие и дифференцирующие звенья [15-18], а для моделирования дробных систем управления летательными аппаратами модернизированы пакеты расширения MLSY_SM, Spektr_SM+Simulink+Matlab, Spektr_SM+VisSim+Mathcad СКМ [19-25] расчета нестационарных непрерывных, дискретных и непрерывно-дискретных систем управления летательными аппаратами с сосредоточенными параметрами и распределенными параметрами.

В данной статье рассматривается разработка пакета расширения MLSY_SM_SH+Mathcad для анализа нестационарных непрерывных систем управления целого и дробного порядка спектральным методом в системе функций

Фабера-Шаудера, а сам пакет MLSY_SM_SH+Mathcad применен для исследования влияния порядка дробности координатора цели и константы навигации блока выработки команд системы самонаведения на точность наведения при случайных воздействиях.

1. Разработка пакета расширения MLSY_SM_SH+Mathcad анализа нестационарных линейных непрерывных систем управления целого и дробного порядка в системе функций Фабера-Шаудера

Система функций Фабера-Шаудера

Дадим определение функций Фабера — Шаудера на отрезке [0,1] по Фаберу [26].

Положим,

$$\varphi_0(\tau) = 1, \varphi_1(\tau) = \tau, \varphi_i(\tau) = 2^{n+1} \int_0^\tau \chi_{i-1}(\theta) d\theta \quad i = 2, 3, \dots, \quad (1)$$

где $\{\chi_i(\theta)\}_{i=0}^\infty$ - система функций Хаара:

$$\chi_i(\theta) = \left\{ \begin{array}{l} 1, \quad 0 \leq \theta \leq 1, \quad i = 0; \\ 1, \quad \frac{2k}{2^{n+1}} \leq \theta < \frac{2k+1}{2^{n+1}}, \\ -1, \quad \frac{2k+1}{2^{n+1}} \leq \theta < \frac{2(k+1)}{2^{n+1}}, \\ 0, \quad \frac{2l}{2^{n+1}} \leq \theta < \frac{2(l+1)}{2^{n+1}}, \\ i = 2^n + k = 1, 2, \dots, \\ n = 0, 1, 2, \dots; l, k = 0, 1, 2, \dots, 2^n - 1, l \neq k. \end{array} \right\} \quad (2)$$

Систему (1), после нормировки последней в $C[0,1]$, называют системой Фабера-Шаудера. Эта система образует условный базис в пространстве функций непрерывных на отрезке $[0,1]$, но при этом не является минимальной системой в пространствах Лебега $L^p[0,1], 1 \leq p < \infty$. Однако, их можно применять для приближения всех измеримых на отрезке $[0,1]$ функций [28-31]. Множество всех измеримых на отрезке $[0,1]$ функций обозначают $\alpha(L)$, где $\alpha(x) \in \Xi$. Ξ - множество четных, конечных и неубывающих на $[0, \infty)$ функций $\alpha(x)$, удовлетворяющих условиям $\alpha(0)=0$; $\lim\{\alpha(x): x \rightarrow \infty\} = \alpha(\infty) = \infty$. Если, например, $\alpha(x) = |x|^p$, то $\alpha(L)$ в случае $1 \leq p < \infty$ есть линейное пространство $L_p[0,1]$ суммируемых на отрезке $[0,1]$ в

p -ой степени функций $f(x)$ с нормой $\|f\|_{L_p} = \left\{ \int_0^1 |f(x)|^p dx \right\}^{1/p} < \infty$.

Функции $\varphi_i(\tau)$ из системы функций Фабера-Шаудера $\Phi = \{\varphi_i(\theta)\}_{i=0}^{\infty}$ (1), при $i = 2^{n-1} + k + 1 = 2, \dots, n = 1, 2, \dots, k = 0, 1, 2, \dots, 2^{n-1} - 1$, с учетом системы функций Хаара (2), можно представить в виде

$$\varphi_i(\tau) = \varphi_{2^{n-1}+k+1}(\tau) = \varphi_{n,k}(\tau) = \begin{cases} 0, & \text{если } \tau \notin \left(\frac{k}{2^{n-1}}, \frac{k+1}{2^{n-1}} \right), \\ 1, & \text{если } \tau = \frac{2k+1}{2^n}, \\ \text{линейна и непрерывна} \\ \text{на } \left[\frac{k}{2^{n-1}}, \frac{2k+1}{2^n} \right] \text{ и на } \left[\frac{2k+1}{2^n}, \frac{k+1}{2^{n-1}} \right]. \end{cases} \quad (3)$$

Определим функцию $\varphi(\tau), \tau \in R$ следующим образом:

$$\varphi(\tau) = \begin{cases} 2\tau, & \text{при } \tau \in [0, 1/2], \\ 2-2\tau, & \text{при } \tau \in [1/2, 1], \\ 0, & \text{при } \tau \notin [0, 1]. \end{cases} \quad (4)$$

Тогда (3) можно представить в виде сжатий и сдвигов функции (4)

$$\varphi_i(\tau) = \varphi_{n,k}(\tau) = \varphi(2^n \tau - k).$$

Первые девять функций Фабера-Шаудера приведены на рис.1.

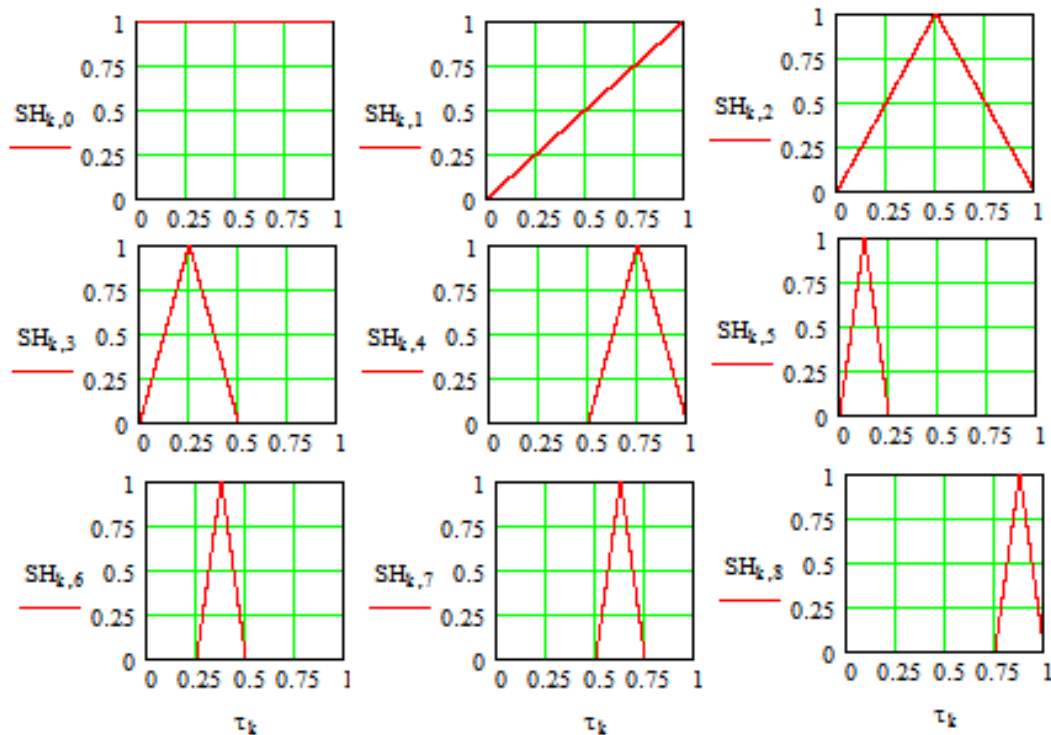


Рис.1. Первые девять функций Фабера-Шаудера

Пакет MLSY_SM+Mathcad, его структура, способы работы с ним и его модификация - MLSY_SM_SH+Mathcad

В спектральной области всем элементарным операциям [9] ставится в соответствие система элементарных алгоритмов. На базе этой системы строится система алгоритмов исследования систем управления.

В настоящее время разработано несколько версий пакета прикладных программ анализа и параметрического синтеза систем управления спектральным

методом [8-10. 14, 21-25, 34, 34]. Одна из них создана на базе СКМ Mathcad, Maple, Mathematica, Matlab [21]. Эта версия включает в себя все элементарные операции спектрального метода и предназначена для моделирования линейных систем управления спектральным методом (MLSY_SM).

Рассмотрим модификацию пакета прикладных программ MLSY_SM [20], созданного на базе СКМ Mathcad [35], за счет его пополнения процедурами элементарных операций по системе функций Фабера-Шаудера. Все эти процедуры размещаются в разделе SM_SH библиотеки NBF пакета прикладных программ MLSY_SM [21].

Формирование символьных алгоритмов и программных модулей пакета расширения MLSY_SM_SH+Mathcad

Mathcad умеет преобразовывать и упрощать алгебраические выражения, дифференцировать и вычислять определенные и неопределенные интегралы, вычислять конечные и бесконечные суммы и произведения, решать алгебраические и дифференциальные уравнения и системы, а также разлагать функции в ряды и находить пределы.

Технологию формирования символьных алгоритмов в СКМ Mathcad для элементарных звеньев пакета расширения MLSY_SM_SH рассмотрим на примере вывода аналитических формул вычисления элементов матрицы двумерной нестационарной характеристики связи (ДНХС) [18] $\Lambda_{\varphi\varphi}(j, i) = \int_0^i \varphi(j, \tau)\varphi(i, \tau)d\tau$,

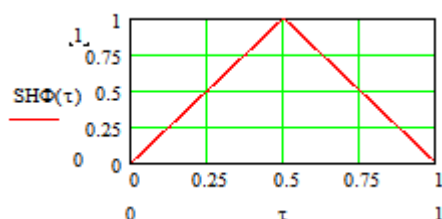
где φ - функция Фабера-Шаудера.

1. Формируем программу вычисления функций Фабера-Шаудера.

Зададим порождающую функцию Фабера-Шаудера SH в виде:

$$SH\Phi(\tau) := \left[\left(\Phi(\tau) - \Phi\left(\tau - \frac{1}{2}\right) \right) \cdot 2 \cdot \tau \right] + \left(\Phi\left(\tau - \frac{1}{2}\right) - \Phi(\tau - 1) \right) \cdot (2 - 2 \cdot \tau)$$

где Φ - имя функции Хевисайда.



Функции Фабера-Шаудера формируются путем сжатий и сдвигов порождающей функции:

$$SNBSHSH3\Phi(i, \tau, t) := \begin{cases} n \leftarrow \text{floor}\left(\frac{\log(i-1)}{\log(2)}\right) & \text{if } i \geq 2 \\ k \leftarrow i - 2^n - 1 & \text{if } i \geq 2 \\ m \leftarrow \sqrt{\frac{1}{t}} & \text{if } i = 0 \\ m \leftarrow \sqrt{\frac{1}{t}} \cdot \frac{\tau}{t} & \text{if } i = 1 \\ m \leftarrow \sqrt{\frac{1}{t}} \cdot SH\Phi\left(\frac{2^n \cdot \tau}{t} - k\right) & \text{if } i \geq 2 \\ m & \end{cases}$$

2. Формируем программу вычисления ДНХС порядка L.

$$XС\Phi(L, t) := \begin{cases} \text{for } j \in 0..L-1 \\ \text{for } i \in 0..L-1 \\ a_{j,i} \leftarrow \int_0^t SNBSHSH3\Phi(j, \tau, t) \cdot SNBSHSH3\Phi(i, \tau, t) \, d\tau \\ a \end{cases}$$

3. Формируем программы вычисления j -ой строки и i -го столбца матрицы ДНХС.

$$\text{XC}\Phi 21(L, j) := \left| \begin{array}{l} \text{for } i \in 0..L-1 \\ a_i \leftarrow \int_0^1 \text{SNBSHSH3}\Phi(j, \tau, 1) \cdot \text{SNBSHSH3}\Phi(i, \tau, 1) d\tau \\ a \end{array} \right.$$

$$\text{XC}\Phi 2(L, i) := \left| \begin{array}{l} \text{for } j \in 0..L-1 \\ a_j \leftarrow \int_0^1 \text{SNBSHSH3}\Phi(j, \tau, 1) \cdot \text{SNBSHSH3}\Phi(i, \tau, 1) d\tau \\ a \end{array} \right.$$

Вычисляем строки и столбцы матрицы ДНХС отдельно. Например, при $j=0$ и $L=33$ имеем:

$$\text{XC}\Phi 21(33, j)^T \text{ simplify} \rightarrow \left(1 \frac{1}{2} \frac{1}{2} \frac{1}{4} \frac{1}{4} \frac{1}{8} \frac{1}{8} \frac{1}{8} \frac{1}{8} \frac{1}{16} \frac{1}{16} \frac{1}{16} \frac{1}{16} \frac{1}{16} \frac{1}{16} \frac{1}{16} \frac{1}{16} \frac{1}{16} \frac{1}{32} \frac{1}{32} \frac{1}{32} \frac{1}{32} \frac{1}{32} \frac{1}{32} \frac{1}{32} \frac{1}{32} \frac{1}{32} \frac{1}{32} \frac{1}{32} \frac{1}{32} \frac{1}{32} \frac{1}{32} \frac{1}{32} \frac{1}{32} \frac{1}{32} \right).$$

По характеру изменения элементов в строках и столбцах матрицы ДНХС находим аналитический алгоритм вычисления её элементов.

4. По этому алгоритму формируем программу вычисления ДНХС порядка L .
5. Вычисляем усеченные матрицы ДНХС по двум программам для сравнения результатов.

Аналогично формируются аналитические алгоритмы вычисления элементов матриц двумерных нестационарных передаточных функций (ДНПФ) интегрирующего и дробного интегрирующего звена μ -го порядка [18] на отрезке $[0, t]$

$$P_{\psi\varphi^*}^{-\mu}(h, i) = \frac{1}{\Gamma(\mu)} \int_0^t \psi^*(i, t, \theta) \int_0^\theta \frac{\varphi(i, t, \tau)}{(\theta - \tau)^{1-\mu}} d\tau d\theta \quad (5)$$

и элементов матриц ДНПФ дробных дифференцирующих звеньев первого и второго рода μ -го порядка и дробных дифференцирующих звеньев Римана-Лиувилля и Капуто:

$$\mathfrak{S}_{\psi\varphi^*}^{\mu} = \begin{cases} \mathfrak{S}_{\psi\varphi^*}^m \cdot P_{\psi\varphi^*}^{-(m-\mu)}, & m-1 < \mu < m, \\ \mathfrak{S}_{\psi\varphi^*}^m, & \mu = m; \end{cases} \quad (6)$$

$${}^* \mathfrak{S}_{\psi\varphi^*}^{\mu} = \begin{cases} P_{\psi\varphi^*}^{-(m-\mu)} \mathfrak{S}_{\psi\varphi^*}^m, & m-1 < \mu < m, \\ \mathfrak{S}_{\psi\varphi^*}^m, & \mu = m, \end{cases} \quad (7)$$

где $\mathfrak{S}^m = \mathfrak{S}^{m-1} \cdot \mathfrak{S}$ - матрица ДНПФ дифференцирующего звена второго рода m -го порядка [15], а $P^{-(m-\mu)}$ - матрица ДНПФ дробного интегрирующего звена (5) $m-\mu$ -го порядка.

Формирование численных алгоритмов и программных модулей пакета расширения MLSY_SM_SH+Mathcad

Вычислительные схемы, реализующие вычисление усеченных матриц НСХ и ДНПФ элементарных звеньев [8-10, 14], основаны на квадратурных правилах наивысшей алгебраической степени точности [10]. Для нашей задачи выбираем квадратурную формулу Гаусса вычисления интеграла на отрезке $[\theta_0, t]$:

$$\int_{\theta_0}^t x(\tau) d\tau = \frac{t-\theta_0}{2m \cdot N1} \sum_{\nu=0}^{m \cdot N1-1} \sum_{k=1}^n \omega_k x \left(\frac{t-\theta_0}{2m \cdot N1} \alpha_k + \frac{(t-\theta_0)(2\nu+1)}{2m \cdot N1} + \theta_0 \right), \quad (8)$$

где n – количество используемых стандартизированных значений нулей α_n и весов ω_n квадратурного алгоритма Гаусса на отрезке $[-1, 1]$, которые в программной реализации задаются следующими векторами:

$$\omega_1 := \begin{pmatrix} 0.0812743884 \\ 0.1806481607 \\ 0.2606106964 \\ 0.3123470770 \\ 0.3302393550 \\ 0.3123470770 \\ 0.2606106964 \\ 0.1806481607 \\ 0.0812743884 \end{pmatrix} \quad \alpha_1 := \begin{pmatrix} -0.968160239 \\ -0.836031107 \\ -0.613371433 \\ -0.324253423 \\ 0 \\ 0.324253423 \\ 0.613371433 \\ 0.836031107 \\ 0.968160239 \end{pmatrix}$$

Учитывая квадратурный алгоритм Гаусса (8), формируем программные модули вычисления усеченных матриц нестационарных спектральных характеристик (НСХ), нестационарных спектральных плотностей (НСП) и ДНПФ элементарных звеньев: усилительного, чистого сдвига. Затем, используя программные модули элементарных звеньев, формируем программные модули типовых звеньев: апериодического, колебательного.

Описание процедур пакета расширения MLSY_SM_SH+Mathcad и их формальных параметров в системе функций Фабера-Шаудера приведено в приложении.

2. Примеры выполнения элементарных и типовых операций спектрального метода

Замечание. При решении задач в СКМ Mathcad будем предполагать, что пакет расширения MLSY_SH_SM подключен и настроен.

Пример 1. Найти дробный интеграл порядка μ (5) от функции $g(\tau) = 1(\tau)$ спектральным методом и сравнить найденное решение с аналитическим решением

$$h(\tau) = \frac{\tau^\mu}{\Gamma(\mu + 1)}. \text{ Вычисления провести для } \mu = \frac{1}{2}, 1, \frac{3}{2}.$$

Решение задачи.

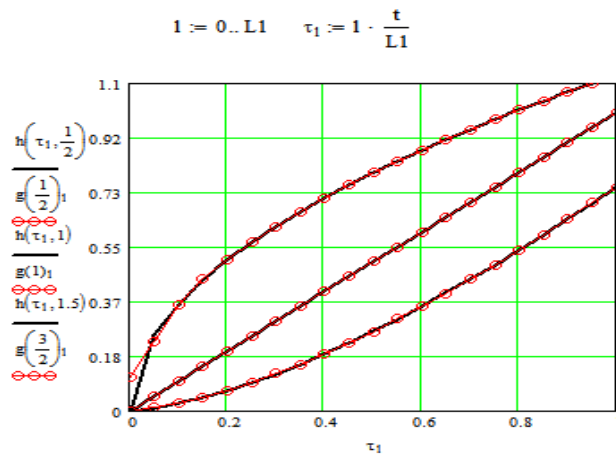
Листинг 1

```
L := 9      <- порядок усечения ДНПФ и НСХ
t := 1      L1 := 20

h(τ, μ) := τ^μ / Γ(μ + 1) <- дробный интеграл от функции g(τ) := 1
                                порядка μ (аналитический вид).
g(τ) := 1      G1 := SNXSHSH(g, L, t)      NB := SNBSHSH(L1, L, t)

I(μ) := SIμSHSH(L, t, μ) <- ДНПФ интегрирующего звена
                                порядка μ.
X(μ) := I(μ) · G1      g(μ) := NB · X(μ)
```

Визуализация решения, найденного спектральным методом, совмещенная с визуализацией точного решения.



Конец листинга 1

Пример 2. Решить спектральным методом интегральное уравнение Абеля [5]

$$x(\theta) + \frac{\lambda}{\Gamma(\mu)} \int_0^\theta \frac{x(\tau)}{(\theta - \tau)^{1-\mu}} d\tau = g(\theta) \quad (9)$$

для $g(\theta) = \theta^4 e^{-\theta} + \left(\sin\left(\frac{5\pi\theta}{t}\right) \right)^{\frac{1}{2}} \Phi\left(\theta - \frac{t}{2}\right)$, $\mu = \frac{1}{2}$ на отрезке $[0, t]$.

Решение уравнения (9) для $\mu = \frac{1}{2}$ можно представить в виде [5]

$$y(\theta) = \frac{d}{d\theta} \left[\int_0^\theta e^{\lambda^2(\theta-\tau)} \operatorname{erfc}(\lambda\sqrt{\theta-\tau}) g(\tau) d\tau \right].$$

Эта формула после дифференцирования приводится к виду:

$$y(\theta) = \lambda \int_0^\theta g(\tau) \left[\lambda \cdot \operatorname{erfc}(\lambda\sqrt{\theta-\tau}) e^{\lambda^2(\theta-\tau)} - \frac{1}{\sqrt{\pi(\theta-\tau)}} \right] d\tau + g(\theta). \quad (10)$$

Уравнение (9) в спектральной области принимает вид:

$$\left(E + \lambda P_{\psi\varphi}^{-\mu} \right) X_{\psi\varphi} = G_{\psi}. \quad (11)$$

где $P_{\psi\varphi}^{-\mu}$ ДНПФ дробного интегрирующего звена Римана-Лиувилля порядка $\mu > 0$ (5).

Из (11) находим НСХ

$$X_{\psi}(t) = \left(E + \lambda P_{\psi\varphi}^{-\mu} \right)^{-1} G_{\psi}(t). \quad (12)$$

Решение задачи.

Листинг 2

N1 := 33 <- порядок усечения ДНПФ и НСХ

N2 := 100 t := 25 $\mu := \frac{1}{2}$ $\lambda := 1.2$ E := identity(N1)

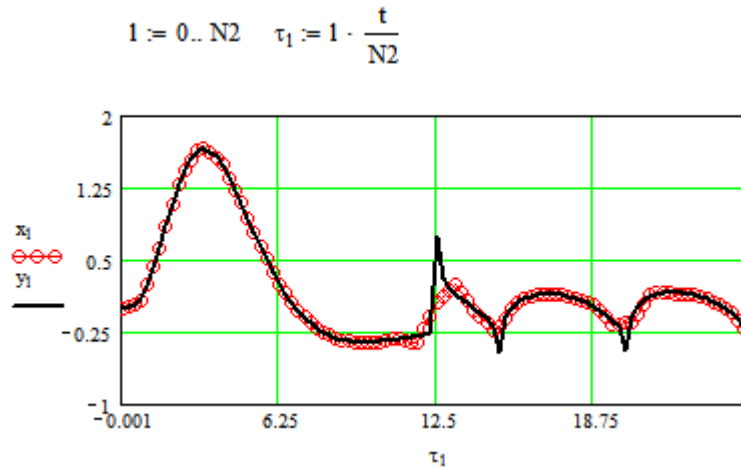
$$g(\theta) := \theta^4 \cdot e^{-\theta} + \left(\left| \sin\left(\frac{5 \cdot \pi \cdot \theta}{t}\right) \right| \right)^{\frac{1}{2}} \cdot \Phi\left(\theta - \frac{t}{2}\right)$$

yy(g, N2) :=

```
:= for 1 ∈ 0.. N2
  |
  | ω1 ← 1 · t / N2
  |
  | ya1 ← [ λ · ∫₀^ω1 g(τ) · [ [ λ · erfc(λ · √(ω1 - τ)) · exp[λ² · (ω1 - τ)] ] ... ] dt ...
  |
  | + g(ω1)
  |
  | ya
```

$y := yu(g, N2)$ <- точное решение задачи.
 $I_\mu := S\mu SHSH(N1, t, \mu)$ <- ДНПФ интегрирующего звена порядка μ .
 $G := SNXSHSH(g, N1, t)$ $X := (E + \lambda \cdot I_\mu)^{-1} \cdot G$
 $x := SNBSHSH(N2, N1, t) \cdot X$ <- решение задачи, найденное спектральным методом

Визуализация решения, найденного спектральным методом, совмещенная с визуализацией точного решения.



Конец листинга 2

Пример 3. Решить спектральным методом задачу Коши:

$$\begin{cases} T^2 \frac{d^2 x(\theta)}{d\theta^2} + 2\xi T \mathfrak{I}_{0|\theta}^\mu \frac{dx(\theta)}{d\theta} + \mathfrak{I}_{0|\theta}^{2\mu} x(\theta) = k g(\theta), \\ x(\theta)|_{\theta=0} = x_0, \quad \frac{dx(\theta)}{d\theta} \Big|_{\theta=0} = x'_0, \end{cases} \quad (13)$$

где $T, \xi, k \in \mathbb{R}$, $\mu \in (0, 1/2)$, $g(\theta) \in L_2[0, t]$ - заданная функция; $\mathfrak{I}_{0|\theta}^\mu x(\theta)$ - дробная производная Римана-Лиувилля, взятая от функции $x(\theta)$.

При $\mu = 0$ уравнение (13) по определению дробной производной Римана-Лиувилля переходит в хорошо известное дифференциальное уравнение колебательного звена

$$T^2 \frac{d^2 x(\theta)}{d\theta^2} + 2\xi T \frac{dx(\theta)}{d\theta} + x(\theta) = k g(\theta), \quad (14)$$

где T - постоянная времени; ξ - коэффициент демпфирования; k - передаточный коэффициент. Для устойчивого колебательного звена $0 < \xi < 1$. Если $\xi > 1$, то звено может быть представлено в виде последовательного соединения двух апериодических звеньев с постоянными времени T_1, T_2 ; если $\xi = 1$, то апериодические звенья имеют одинаковую постоянную времени, т.е. $T_1 = T_2$. Если $\xi = 0$, то такая система не рассеивает энергии и в ней протекают незатухающие колебания. Если $\xi < 0$, выходные колебания с течением времени возрастают. Такое звено является неустойчивым колебательным звеном.

Эта задача в спектральной области может быть представлена в виде

$$\begin{aligned} & \left[E + a_1 P^{-(1-\mu)} + a_2 P^{-2(1-\mu)} \right] \cdot X = \\ & = k_1 P^{-2} \cdot G + x_0 S[1] + x'_0 S[\theta] + x_0 a_1 S \left[\frac{\theta^{1-\mu}}{\Gamma(2-\mu)} \right], \end{aligned} \quad (15)$$

где $a_1 = \frac{2\xi}{T}$, $a_2 = \frac{1}{T^2}$, $k_1 = \frac{k}{T^2}$; $S[1], S[\theta], S \left[\frac{\theta^{1-\mu}}{\Gamma(2-\mu)} \right]$ - НСХ (матрицы столбцы)

функций $1(\theta), \theta, \frac{\theta^{1-\mu}}{\Gamma(2-\mu)}$ соответственно.

Отсюда имеем

$$\begin{aligned}
X = & \left[E + a_1 P^{-(1-\mu)} + a_2 P^{-2(1-\mu)} \right]^{-1} \left\{ k_1 P^{-2} \cdot G + \right. \\
& \left. + x_0 S[1] + x'_0 S[\theta] + x_0 a_1 S \left[\frac{\theta^{1-\mu}}{\Gamma(2-\mu)} \right] \right\}.
\end{aligned} \tag{16}$$

Если $\mu \rightarrow 0$, то решение (16) задачи Коши (13) перейдет в решение задачи Коши для уравнения (14) и примет вид

$$X = \left[E + a_1 P^{-1} + a_2 P^{-2} \right]^{-1} \left\{ k_1 P^{-2} \cdot G + x_0 S[1] + x'_0 S[\theta] + x_0 a_1 S[\theta] \right\}. \tag{17}$$

Решение задачи.

Листинг 3

N1 := 33 <- порядок усечения матриц ПС НСХ. t := 2 N2 := 200

$$g(\theta) := 1 \quad s(\theta) := 1 \quad s1(\theta, \mu) := \frac{\theta^{1-2\mu}}{\Gamma(2-\mu)}$$

Параметры системы

$$T := 0.15 \quad \xi := 0.2 \quad k := 1 \quad a_1 := \frac{2 \cdot \xi}{T} \quad a_2 := \frac{1}{T^2} \quad k_1 := \frac{k}{T^2}$$

Если $\mu := 0$, то аналитическое решение задачи Коши (13) имеет ви,

$$x_a(\theta) := \left[1 - \frac{e^{-\frac{\xi}{T} \theta}}{\sqrt{1-\xi^2}} \cdot \sin \left[\left(\frac{\sqrt{1-\xi^2}}{T} \right) \cdot \theta + \operatorname{atan} \left(\frac{\sqrt{1-\xi^2}}{\xi} \right) \right] \right]$$

Программа решения задачи (13) для различных значений μ .

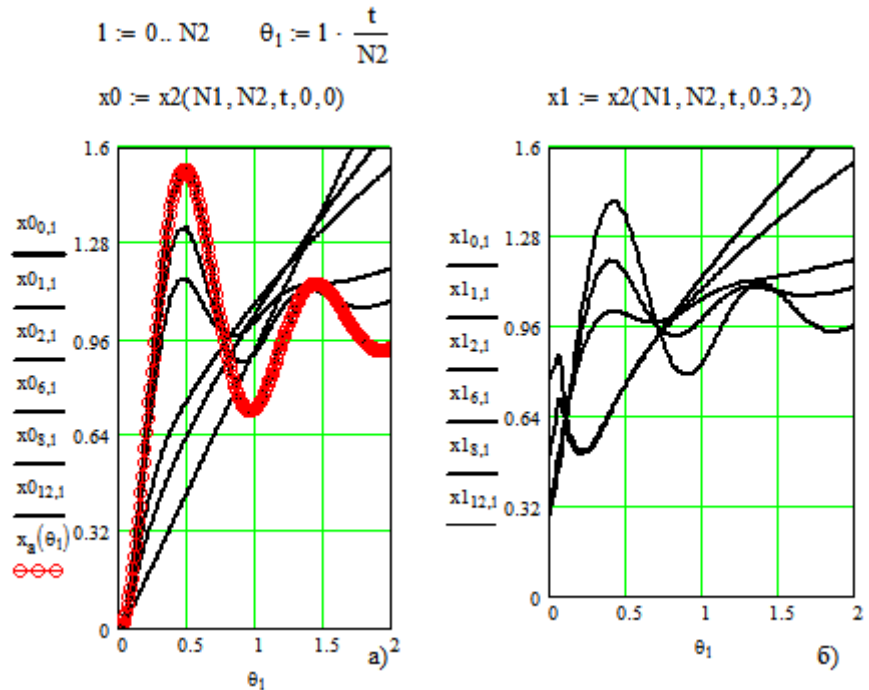
```

x2(N1, N2, t, x0, x1) :=
  S ← SNXSHHSH(s, N1, t)
  G ← SNXSHHSH(g, N1, t)
  E ← identity(N1)
  P1 ← SD1SHHSH(N1, t)
  I2 ← SIμSHHSH(N1, t, 2)
  NB ← SNBSHSH(N2, N1, t)
  for k ∈ 0..12
    μ ←  $\frac{4 \cdot k}{100}$ 
    S1 ← SNXSHHSH(μ(s1, N1, t, μ))
    Pβ ← SIμSHHSH(N1, t, 1 - μ)
    Pβ2 ← if(μ = 0, I2, I2 · P1 · SIμSHHSH(N1, t, 1 - 2 · μ))
    GV ← [k1 · I2 · G + x0 · (S + a1 · S1) + x1 · S1]
    X ← (E + a1 · Pβ + a2 · Pβ2)-1 · GV
    xx ← NB · X
    for j ∈ 0..N2
      ak,j ← xxj
  a

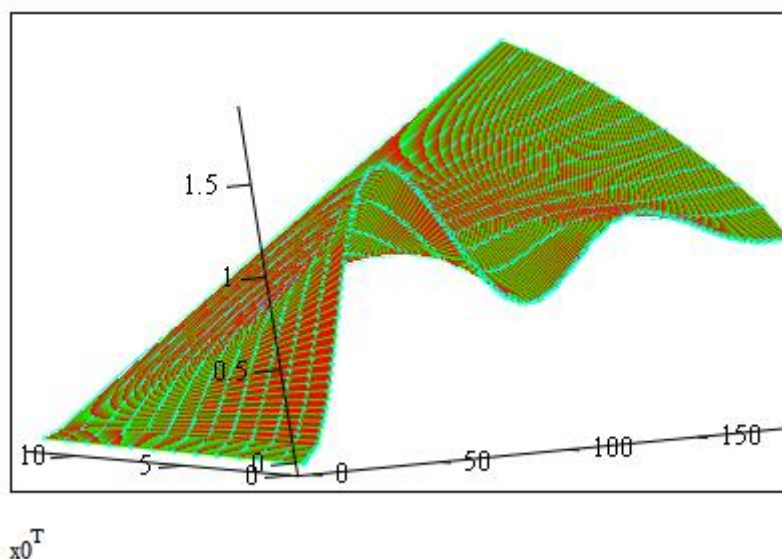
```

Визуализация решений с различными порядками дробных производных ($\mu = 0, 0.04, 0.08, \dots, 0.48$) при нулевых а) и ненулевых б) начальных условиях.

Заметим, что точное решение для $\mu = 0$ совмещено с решением, найденным спектральным методом (отмечено кружечками).



Визуализация решений, найденных при нулевых начальных условиях, в виде поверхности, которая является функцией времени θ и порядка дробной производной $\mu \in [0, 0.5]$.



Конец листинга 3

3. Пример анализа и параметрического синтеза дробной системы управления самонаводящейся ракеты в СКМ Mathcad спектральным методом в системе функций Фабера-Шаудера

В работе [15] для моделирования дробной системы управления самонаводящейся ракеты применялся спектральный метод. Рассматривалась линеаризованная расчетная схема системы управления самонаводящейся ракеты, изображенная на рис. 2.

В этой расчетной схеме координатор цели 5 содержит дробную производную Римана-Лиувилля порядка μ . Выходной переменной такой дробной системы, считается линейное смещение ракеты $h(\theta)$ относительно опорной не вращающейся

линии визирования, которая связана с приращением угла визирования формулой: $h(\theta) = r(\theta)\Delta\varphi(\theta)$.

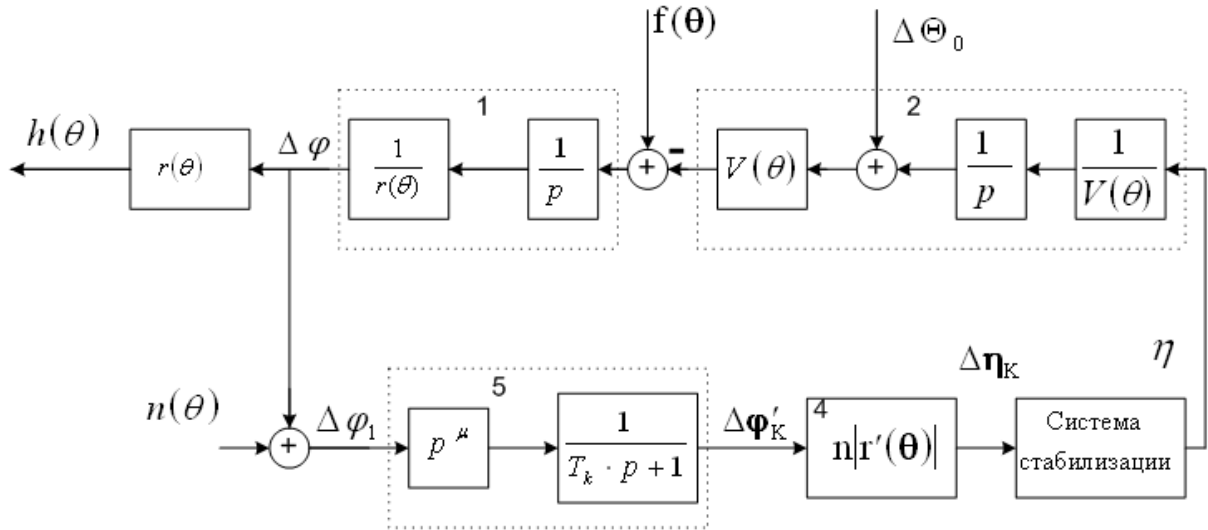


Рис. .2. Структурная схема системы управления самонаводящейся ракетой

За величину промаха (ошибки) h принимается значение $h(\theta)$ в момент выключения координатора $\theta = t_k$.

Из внешних воздействий системы учтены: суммарный сигнал $g(\theta) = \eta_n(\theta) - V(\theta)\Delta\Theta_0$, учитывающий маневр цели и начальную ошибку прицеливания, и помеха $n(\theta)$. Эти сигналы случайные, заданные своими ковариационными функциями:

$$R_g(\theta_1, \theta_2) = \eta_n^2 \theta_1 \theta_2 + \Delta\Theta_0^2 V(\theta_1)V(\theta_2). \quad (18)$$

и

$$R_n(\theta_1, \theta_2) = S_0 \delta(\theta_1 - \theta_2). \quad (19)$$

Моделирование этой дробной системы управления самонаводящейся ракеты проведем в СКМ Mathcad спектральным методом, используя систему функций Фабера-Шаудера.

Для численных расчетов примем следующие исходные данные:

$$\mu = 0.76; \quad V(\theta) = 200(1 + \theta); \quad r(\theta) = 100(45 - 6\theta - \theta^2); \quad T_1 = 0,3 \text{ с}; \quad T_2 = 0,1 \text{ с}; \\ \xi_2 = 0,125; \quad \eta_k^2 = 400; \quad \Delta\Theta_0^2 = 0,0004; \quad S_0 = 4 \cdot 10^{-5}; \quad 0 \leq \theta \leq t_k, \quad t_k = 4 \text{ с}.$$

Надо для дробной системы управления (рис. 2):

1) Найти средние квадратичные значения переходных процессов

$$h_{g_{ck}}(\theta), h_{n_{ck}}(\theta), h_{ck}(\theta) = \sqrt{h_{g_{ck}}^2(\theta) + h_{n_{ck}}^2(\theta)} \quad \text{при заданных параметрах системы}$$

управления, обусловленные полезным сигналом $g(\theta)$ и помехой $n(\theta)$.

2) Выбрать оптимальные значения параметра дробности μ и константы навигации n из условия минимума среднего квадратичного значения промаха

$$h_{ck} = \sqrt{h_{g_{ck}}^2 + h_{n_{ck}}^2}, \quad (20)$$

где $h_{g_{ck}} = r(t_k)\sqrt{\Delta\varphi_g^2(t_k)}$ и $h_{n_{ck}} = r(t_k)\sqrt{\Delta\varphi_n^2(t_k)}$ - среднее квадратичное значение промаха, обусловленное воздействием $g(\theta)$ и помехой $n(\theta)$ соответственно, а $\Delta\varphi_g^2(t_k)$, $\Delta\varphi_n^2(t_k)$ дисперсии переменной $\Delta\varphi$, обусловленные воздействием $g(\theta)$ и помехой $n(\theta)$ в момент $\theta = t_k$.

Спектральный расчет непрерывной системы управления включает в себя следующие этапы:

1) По заданной структурной схеме (рис. 2) находим ДНПФ дробной системы управления.

2) Задаёмся параметрами, при которых решается задача.

Пусть: $N1$ – порядок усечения матриц ДНПФ системы управления; $[0, t_k]$ – интервал работы системы управления; $L1$ – количество равноотстоящих точек, заданных на интервале $[0, t_k]$, в которых вычисляются непрерывные переходные процессы (первая точка совпадает с левым, а последняя с правым концом отрезка $[0, t_k]$).

Положим:

$N1 := 17$ $L1 := 32$ $t_k := 4$ $E := \text{identity}(N1)$ - единичная матрица.
 $n := 3.2$ - константа навигации блока выработки команд 4.

Примем следующие числовые значения параметров системы, начальных условий и помех:

$\mu := 0.73$ - дробный порядок оператора дифференцирования.
 $\tau_1 := 0.3$ - постоянная времени координатора цели (динамический элемент 5).
 $\tau_2 := 0.1$ $\xi_2 := 0.125$ - параметры системы стабилизации (колебательное звено).
 $V(\theta) := 200 \cdot (1 + \theta)$ - скорость ракеты на опорной траектории.
 $r(\theta) := 100 \cdot (45 - 6 \cdot \theta - \theta^2)$ закон изменения расстояния между ракетой и целью на опорной траектории.
 $V1(\theta) := \frac{1}{V(\theta)}$ $r1(\theta) := \frac{1}{r(\theta)}$ - переменные коэффициенты кинематических звеньев.
 $\eta := 400$ $\Delta t_0 := 0.0025$ $S_0 := 0.00004$ - параметры характеристик внешних воздействий.
 $R_g(\theta, \tau) := \eta \cdot \theta \cdot \tau + \Delta t_0 \cdot V(\theta) \cdot V(\tau)$

3) Вычислим НСП внешних воздействий.

$S_g := \text{SNCSHSH1}(R_g, N1, t_k)$
 $S_n := S_0 \cdot \text{SXCSHSH1}(N1)^{-1}$ - НСП внешних воздействий.

4) Вычислим ДНПФ системы самонаведения.

$$\begin{aligned}
 I1 &:= SI\mu SHHSH1(N1, t_k, 1) & I\mu &:= SI\mu SHHSH1(N1, t_k, 1 - \mu) \\
 P1 &:= SP1SHHSH1(N1, t_k) & W_{ан} &:= SAPSHHSH1(N1, \tau_1, 1, t_k) \\
 W_{cc} &:= SKOSHSH1(N1, \tau_2, \xi_2, 1, t_k) & A_{1v} &:= SYZSHHSH1(V1, N1, t_k) \\
 A_{1r} &:= SYZSHHSH1(r1, N1, t_k) & A_v &:= SYZSHHSH1(V, N1, t_k) \\
 dr(t) &:= 200 \cdot (3 + t) - \text{модуль скорости сближения ракеты и цели} \\
 &\quad \text{на опорной траектории.} \\
 A_{dr} &:= SYZSHHSH1(dr, N1, t_k) \\
 W_2 &:= -n \cdot A_v \cdot I1 \cdot A_{1v} \cdot W_{cc} \cdot A_{dr} \cdot W_{ан} \cdot (I\mu \cdot P1) \\
 W_{1,1} &:= (E - I1 \cdot W_2 \cdot A_{1r})^{-1} \cdot I1 - \text{ДНПФ системы самонаведения.} \\
 W_{1,2} &:= W_{1,1} \cdot W_2
 \end{aligned}$$

5) Вычислим НСП и различные характеристики выходных случайных сигналов.

$$\begin{aligned}
 S_{x1} &:= W_{1,1} \cdot S_g \cdot W_{1,1}^T & S_{x2} &:= W_{1,2} \cdot S_n \cdot W_{1,2}^T & S_h &:= S_{x1} + S_{x2} \\
 Q &:= SNBSHSH1(L1, N1, t_k) & QK &:= SNBSHSH1K(N1, t_k) \\
 l &:= 0..L1 & t_l &:= \frac{t_k}{L1} \cdot l \\
 D_{x1_1} &:= \sum_{i=0}^{N1-1} \sum_{j=0}^{N1-1} Q_{1,i} \cdot (S_{x1})_{i,j} \cdot Q_{1,j} & h_{ck1_1} &:= \sqrt{D_{x1_1}} \\
 D_{x2_1} &:= \sum_{i=0}^{N1-1} \sum_{j=0}^{N1-1} Q_{1,i} \cdot (S_{x2})_{i,j} \cdot Q_{1,j} & h_{ck2_1} &:= \sqrt{D_{x2_1}} \\
 D_{h_1} &:= \sum_{i=0}^{N1-1} \sum_{j=0}^{N1-1} Q_{1,i} \cdot (S_h)_{i,j} \cdot Q_{1,j} & h_{ck_1} &:= \sqrt{D_{h_1}}
 \end{aligned}$$

Средние квадратичные значения переходных процессов, обусловленные воздействиями $g(\theta)$ и $n(\theta)$, показаны на рис. 3.

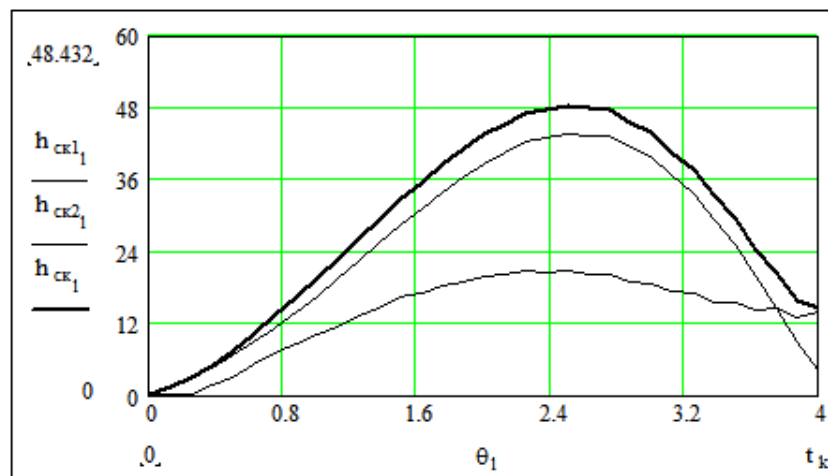


Рис. 3. Средние квадратичные значения переходных процессов системы управления самонаводящейся ракеты

б) Составляем программу вычисления зависимости среднего квадратичного значения промаха $h_{ск}$ от значения параметров дробности μ координатора цели системы самонаведения и константы навигации n блока выработки команд.

$$\begin{aligned}
& h1N_{\xi_{ck}}^{\xi_{ck}}(N1, t_k) := \\
& := \left| \begin{array}{l}
W_{cc} \leftarrow SKOSHSH1(N1, \tau_2, \xi_2, 1, t_k) \\
\text{for } l \in 0..20 \\
\quad \text{for } n1 \in 0..20 \\
\quad \quad \mu1 \leftarrow \frac{1}{40} + \frac{1}{2} \\
\quad \quad I_{\mu1} \leftarrow SI_{\mu}SHSH1(N1, t_k, 1 - \mu1) \\
\quad \quad F1 \leftarrow -A_v \cdot I1 \cdot A_{1v} \\
\quad \quad F2 \leftarrow A_{dr} \cdot W_{an} \cdot I_{\mu1} \cdot P1 \\
\quad \quad W_2 \leftarrow \left(2.5 + \frac{n1}{10} \right) \cdot F1 \cdot W_{cc} \cdot F2 \\
\quad \quad W_{1,1} \leftarrow (E - I1 \cdot W_2 \cdot A_{1r})^{-1} \cdot I1 \\
\quad \quad W_{1,2} \leftarrow W_{1,1} \cdot W_2 \\
\quad \quad S_{x1} \leftarrow W_{1,1} \cdot S_g \cdot W_{1,1}^T \\
\quad \quad S_{x2} \leftarrow W_{1,2} \cdot S_n \cdot W_{1,2}^T \\
\quad \quad S_h \leftarrow S_{x1} + S_{x2} \\
\quad \quad D_h \leftarrow QK \cdot S_h \cdot QK^T \\
\quad \quad h_{ck_{l,n1}} \leftarrow \sqrt{(D_h)_0} \\
h_{ck}
\end{array} \right.
\end{aligned}$$

7) Вычисляем зависимости среднего квадратичного значения промаха h_{ck} от порядка дробности μ оператора дифференцирования и константы навигации n блока выработки команд:

$$h1_{ck} := h1N_{\xi_{ck}}^{\xi_{ck}}(N1, t_k)$$

Зависимость среднего квадратичного значения промаха h_{ck} от порядка дробности оператора дифференцирования μ координатора цели и константы навигации n блока выработки команд показана на рис. 4. Как видно из графика оптимальное значение среднего квадратичного значения промаха h_{ck} определяется параметрами $\mu = 0.75, n = 3.2$.

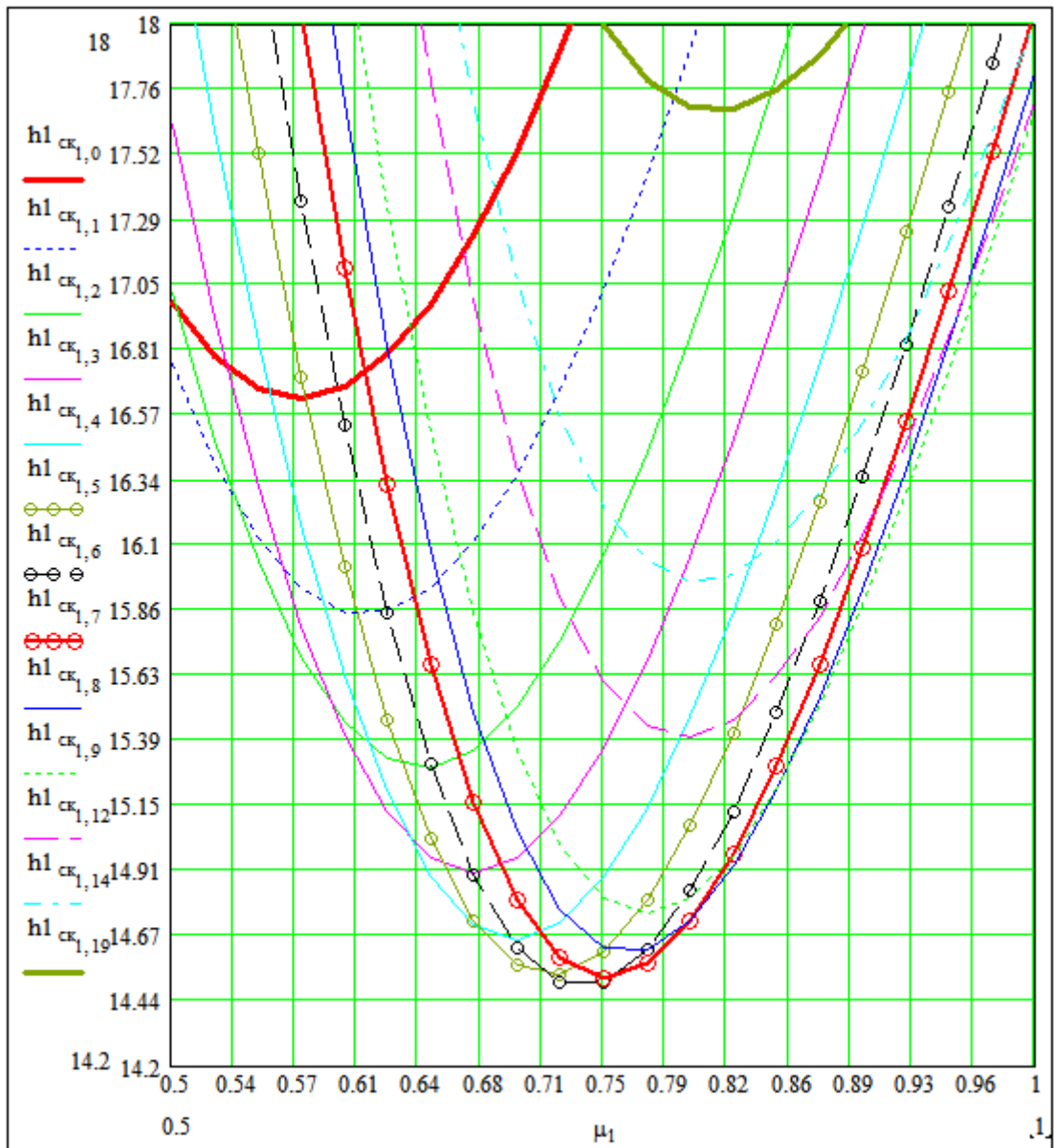


Рис. 4. Зависимость среднего квадратичного значения промаха h_{sc} от порядка дроби оператора дифференцирования μ координатора цели и константы навигации n блока выработки команд

Приложение. Описание процедур (элементарных операций спектрального метода) пакета расширения MLSY_SM_SH+Mathcad и их формальных параметров в системе функций Фабера-Шаудера

Правила формирования структуры имени программного модуля для спектральных алгоритмов можно найти в работах [14, 15, 21].

Здесь используются идентификаторы SH и SHH для функций Фабера-Шаудера восстановления и разложения соответственно.

1) $SNBSHSH1(L1, L, t)$ - вычисление усеченной матрицы-строки L непрерывных функций (восстановления) Фабера-Шаудера на отрезке $[0, t]$ на системе тактовых точек $(l-1)t/L1$, где $l=1, \dots, L1+1$. Результат представляется матрицей размером $L1 \times L$;
 $SNBSHSH2(i, \tau, t)$ - вычисление i -й функция Фабера-Шаудера на отрезке $[0, t]$ в точке τ ;
 $SNBRSHSH1(L1, L, t)$ - вычисление усеченной матрицы-строки L непрерывных функций разложения Фабера-Шаудера на отрезке $[0, t]$ на системе тактовых точек $(l-1)t/L1$, где $l=1, \dots, L1+1$. Результат представляется матрицей размером $L1 \times L$;
 $SNBSHSH1K(L, t)$ - вычисление усеченной матрицы-строки L непрерывных функций (восстановления) Фабера-Шаудера на отрезке $[0, t]$ в конечной точке t .

2) $SNXSHHSH1(g, L, t)$ - вычисление усеченной матрицы-столбца HСХ размером $L \times 1$ на отрезке $[0, t]$ по аналитически заданной функции $g(x)$;
 $SNXSHHSH2(a, N1, L, t)$ - вычисляется усеченной матрицы-столбца HСХ размером $L \times 1$ на отрезке $[0, t]$ по таблично заданной функции $a(x)$ в $N1$ тактовой точке отрезке $[0, t]$.

3) $SNCSHHS1(R, L, t)$ - вычисление усеченной матрицы НСП размером $L \times L$ на отрезке $[0, t]$ по аналитически заданной корреляционной функции $R(x, y)$.

4) $SI1SHHS1(L, t)$ - вычисление усеченной матрицы ДНПФ интегрирующего звена размером $L \times L$ на отрезке $[0, t]$; $SI\mu SHHS1(L, t, \mu)$ - вычисление усеченной матрицы ДНПФ интегрирующего звена Римана – Лиувилля дробного порядка $\mu > 0$ размером $L \times L$ на отрезке $[0, t]$.

5) $SP1SHHS1(L, t)$ - вычисление усеченной матрицы ДНПФ дифференцирующего звена (первого рода) размером $L \times L$ на отрезке $[0, t]$; $SD1SHHS1(L, t)$ - вычисление усеченной матрицы ДНПФ дифференцирующего звена (второго рода) размером $L \times L$ на отрезке $[0, t]$; $SID\mu SHHS1(L, t, \mu)$ - вычисление усеченной матрицы ДНПФ обобщенного интегродифференцирующего звена дробного порядка $\mu \in R$ размером $L \times L$ на отрезке $[0, t]$. Если $\mu > 0$, то вычисляется усеченная матрица ДНПФ интегрирующего звена Римана – Лиувилля дробного порядка, если $\mu < 0$, то вычисляется усеченная матрица ДНПФ обобщенного звена дробного порядка. При $\mu = 0$ вычисляется единичная матрица размером $L \times L$.

6) $SAPSHHS1(L, T, k, t)$ - вычисление усеченной матрицы ДНПФ апериодического звена размером $L \times L$ на отрезке $[0, t]$; T - постоянная времени апериодического звена; k - коэффициент усиления апериодического звена.

7) $SKOSHHS1(L, T, k1, k, t)$ - вычисление усеченной матрицы ДНПФ колебательного звена размером $L \times L$ на отрезке $[0, t]$; T - постоянная времени

колебательного звена; k - коэффициент усиления колебательного звена; k_1 - коэффициент демпфирования колебательного звена.

8) $SCDSHSH1(L, T1, t)$ - вычисление усеченной матрицы ДНПФ звена чистого сдвига размером $L \times L$ на отрезке $[0, t]$; $T1$ - величина чистого сдвига: если $T1 > 0$, то $T1$ - величина запаздывания, если $T1 < 0$, то $T1$ - величина упреждения.

9) $SYZSHSH1(a, L, t)$ - вычисление усеченной матрицы ДНПФ усилительного звена размером $L \times L$ на отрезке $[0, t]$ по аналитически заданному коэффициенту усиления $a(x)$.

10) $SXCSHSH1(L)$ - вычисление усеченной матрицы ДНХС размером $L \times L$ на отрезке $[0, t]$.

Библиографический список

1. Самко С.Г., Килбас А.А., Маричев О.И. Интегралы и производные дробного порядка и некоторые их приложения. - Минск: Наука и техника, 1987. – 688 с.
2. Тарасов В.Е. Модели теоретической физики с интегро-дифференцированием дробного порядка. – Москва-Ижевск: Ижевский институт компьютерных исследований, 2011. – 568 с.
3. Учайкин В.В. Метод дробных производных. – Ульяновск: Изд-во «Артишок», 2008. – 510 с.

4. Васильев В.В., Симак Л.А. Дробное исчисление и аппроксимационные методы в моделировании динамических систем. – Киев: НАН Украины, 2008. – 255 с.
5. Бабенко Ю.И. Метод дробного дифференцирования в прикладных задачах теплообмена. - СПб.: НПО «Профессионал», 2009. – 584 с.
6. Потапов А.А., Гильмутдинов А.Х., Ушаков П.А. Фрактальные элементы и радиосистемы: Физические аспекты. - М.: Радиотехника, 2009. - 200 с.
7. Бекмачев Д.А., Потапов А.А., Ушаков П.А. Проектирование фрактальных пропорционально-интегрально-дифференциальных регуляторов дробного порядка // Успехи современной радиоэлектроники. 2011. №5. С. 13–20.
8. Солодовников В., Семенов В., Пешель М., Недо Д. Расчет систем управления на ЦВМ: спектральный и интерполяционный методы. – М.: Машиностроение, 1979.– 664 с.
9. Солодовников В. В., Семенов В. В. Спектральная теория нестационарных систем управления. - М.: Наука, 1974. – 336 с.
10. Семенов В.В., Рыбин В.В. Алгоритмическое и программное обеспечение расчета нестационарных непрерывно-дискретных систем управления ЛА спектральным методом: Учебно-методическое пособие. – М.: Изд-во МАИ, 1984. – 84 с.
11. Пупков К.А., Егупов Н.Д., Рыбаков К.А., Рыбин В.В., Сотскова И.Л., и др. Нестационарные системы автоматического управления: анализ, синтез и оптимизация. – М.: Изд-во МГТУ им. Н.Э. Баумана, 2007. – 632 с.

12. Пантелеев А.В., Рыбаков К.А., Сотскова И.Л. Спектральный метод анализа нелинейных стохастических систем управления – М.: Вузовская книга, 2006. – 392 с.
13. Пантелеев А.В., Рыбаков К.А. Прикладной вероятностный анализ нелинейных систем управления спектральным методом. – М.: МАИ-Принт, 2010. – 160 с.
14. Рыбаков К.А., Рыбин В.В. Моделирование распределенных и дробно-распределенных процессов и систем управления спектральным методом. – М.: Изд-во МАИ, 2016. – 160 с.
15. Рыбин В.В. Моделирование нестационарных непрерывно-дискретных систем управления спектральным методом в системах компьютерной математики. – М.: Изд-во МАИ, 2011. – 220 с.
16. Рыбин В.В. Моделирование дробных нестационарных систем управления в СКМ спектральным методом // Вестник Московского авиационного института. 2011. Т. 18. № 4. С. 102–118.
17. Рыбин В.В. Моделирование САУ ядерной энергетической установкой в СКМ спектральным методом // Труды МАИ. 2012. № 50. URL: <http://www.mai.ru/science/trudy/published.php?ID=28987>
18. Рыбин В.В. Моделирование распределенных и дробно-распределенных процессов и систем управления в СКМ спектральным методом // Труды МАИ. 2012. № 50. URL: <http://www.mai.ru/science/trudy/published.php?ID=28812>

19. Рыбин В.В. Моделирование нестационарных систем управления целого и дробного порядка проекционно-сеточным спектральным методом. – М.: Изд-во МАИ, 2013. – 160 с.
20. Рыбин В.В. Разработка пакета расширения MLSY_SM СКМ Mathcad в биортогональных вейвлет-базисах // Труды МАИ. 2009. № 33. URL: <http://www.mai.ru/science/trudy/published.php?ID=7352>
21. Рыбин В.В. Описание сигналов и линейных нестационарных непрерывных систем управления в базисах вейвлетов // Труды МАИ. 2003. № 10. URL: <http://www.mai.ru/science/trudy/published.php?ID=34572>
22. Рыбин В.В. Разработка и применение пакетов расширения MLSY_SM СКМ Mathcad, Maple, Mathematica, Matlab // Труды МАИ. 2003. № 13. URL: <http://www.mai.ru/science/trudy/published.php?ID=34432>
23. Рыбин В.В. Разработка и применение пакета расширения Spektr_SM СКМ Matlab // Труды МАИ. 2003. № 13. URL: <http://www.mai.ru/science/trudy/published.php?ID=34433>
24. Рыбин В.В. Описание сигналов и линейных нестационарных непрерывных систем управления в базисах вейвлетов и их анализ в вычислительных средах. – М.: Изд-во МАИ, 2003. – 96 с.
25. Рыбин В.В. Разработка пакета расширения MLSY_SM СКМ Mathcad в базисах Добеши М-го порядка // Труды МАИ. 2009. № 33. URL: <http://www.mai.ru/science/trudy/published.php?ID=7353>

26. Рыбин В.В. Разработка пакета расширения MLSY_SM СКМ Mathcad в проекционно-сеточных финитных базисах // Труды МАИ. 2010. № 41. URL: <http://www.mai.ru/science/trudy/published.php?ID=23812>
27. Кашин Б.С., Саакян А.А. Ортогональные ряды. – М.: Изд-во АФЦ, 1999. – 560 с.
28. Кротов И.Г. Представление измеримых функций рядами по системе Фабера-Шаудера и универсальные ряды // Математические заметки. 1977. Т. 41. № 1. С. 215–229.
29. Кротов И.Г. О рядах по системе Фабера-Шаудера и по базисам пространства $C[0,1]$ // Математические заметки. 1973. Т. 14. № 2. С. 185-195.
30. Матвеев В.А. О рядах по системе Шаудера // Математические заметки. 1967. Т. 2. № 3. С. 267–278.
31. Бочкарев С.И. О рядах по системе Шаудера // Математические заметки. 1968. Т. 4. № 4. С. 453-460.
32. Вакарчук С.Б., Щитов А.Н. Некоторые вопросы приближения частными суммами рядов Фабера–Шаудера в метрике пространства $\varphi(L)$ // Известия вузов. Математика. 2004. № 10. С. 82–85.
33. Романов В.А., Рыбаков К.А. Спектральные характеристики операторов умножения, дифференцирования и интегрирования в базисе обобщенных функций Эрмита // Труды МАИ. 2010. № 39. URL: <http://www.mai.ru/science/trudy/published.php?ID=14816>

34. Рыбаков К.А. Программное обеспечение спектральных преобразований Spectrum // Труды МАИ. 2003. № 14. URL: <http://www.mai.ru/science/trudy/published.php?ID=34423>

35. Дьяконов В.П. Энциклопедия Mathcad 2001i и Mathcad 11. - М.: СОЛОН-Пресс, 2004. – 830 с.